

К ВОПРОСУ О ПРИРОДЕ ДИМЮОННЫХ СОБЫТИЙ,
ЗАРЕГИСТРИРОВАННЫХ НА ПОДЗЕМНОЙ УСТАНОВКЕ
ТЯНЬ-ШАНЬСКОЙ СТАНЦИИ

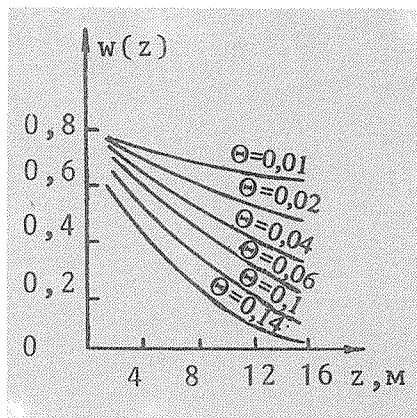
С.П. Бесшапов, Ю.Н. Вавилов, В.В. Любченко

УДК 539.126.33

Показано существование двух различных процессов генерации мюонных пар в широких атмосферных ливнях (ШАЛ). Указана возможность для интерпретации одного из них, ранее обсуждавшегося в работах [3, 5].

В работах /1 – 4/ был обнаружен эффект избытка над фоном мюонных пар в области границы плотного вещества и воздуха, который объясняется генерацией пар адронами ШАЛ в ядерном каскаде в плотном веществе при их взаимодействиях с рождением очарованных частиц и с последующим распадом с участием мюона. В данной работе проведено дальнейшее исследование мюонных пар на основании анализа их геометрических характеристик. Эти характеристики важны при постановке подобных экспериментов.

Некоторые характеристики установки (описанной в работе /1/). Регистрация мюонных пар осуществлялась системой искровых камер, входящих в комплексную установку Тянь-Шаньской станции ФИАН.



Р и с. 1. Зависимость эффективности регистрации мюонной пары от высоты ее генерации для различных углов раствора пары.

В работе /4/ получена эффективность регистрации мюонной пары как функция угла раствора пары и высоты ее генерации (рис. 1). На рис. 2 даны распределения мюонных пар по углу между ними, полученные в эксперименте и рассчитанные для случайных пересечений траекторий мюонов ШАЛ в предположении, что вероятность прохождения мюона по всей площади установки одинакова, а угловое распределение между мюонами имеет вид $p(\Theta)d\Theta = \beta \exp(-\beta\Theta)d\Theta$ (/1/) для высот Z пересечения траекторий мюонов относительно искровых камер от 0 до 30 м.

Результаты эксперимента. Из рис. 2 видно, что с вероятностью $\sim 95\%$ существует избыток мюонных схождений выше искровых камер над схождениями ниже искровых камер при $\Theta \geq 100$ мрад, $a_0 \leq 4$ мрад, где a_0 критерий неконгломерированности /1/. В табл. 1 представлено распределение вершин событий с $\Theta \geq 100$ мрад по высоте.

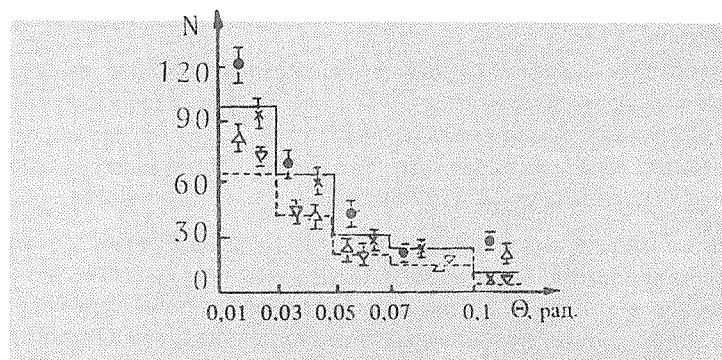


Рис. 2. Распределение мюонных пар по углу раствора Θ для расстояний от места пересечения траекторий двух мюонов до оптической плоскости искровых камер 0 – 30 м. Сплошная линия – расчет для $a_0 \leq 6$ мрад; пунктир – расчет для $a_0 \leq 4$ мрад; $\blacksquare \times$ – количество схождений выше (ниже) оптической плоскости для $a_0 \leq 6$ мрад; $\triangle \nabla$ – количество схождений выше (ниже) оптической плоскости для $a_0 \leq 4$ мрад.

В отличие от ранее упоминавшегося эффекта /1 – 4/ избытка мюонных пар в верхнем слое грунта, расположенному над искровыми камерами, и в наземном ионизационном калориметре, в данном случае вершины распределены на больших глубинах. Поэтому имеет смысл говорить о двух эффектах, зарегистрированных на установке: одного – связанного с рождением мюонных пар в калориметре и верхнем слое грунта толщиной 2 м, примыкающем к поверхности земли, и второго – связанного с парами, имеющими большие

углы раствора. Для удобства события регистрации мюонных пар с $\Theta \geq 100$ мрад в дальнейшем будем называть А-эффектом, а события с малыми $\Theta - \Pi$ -эффектом.

Таблица 1

Распределение числа вершин мюонных пар с $\Theta \geq 100$ мрад, $a_0 \leq 4$ мрад по координате z выше ($N_B(z)$) и ниже ($N_H(z)$) искровых камер

z, m	0-3	3-6	6-9	9-12	12-15	15-18	18-21	21-24	24-30
$N_B(z)$	8	9	3	3	2	1	0	0	0
$N_H(z)$	0	2	1	0	0	0	0	0	0

Обратимся к анализу П-эффекта. Рассмотрим события, имеющие $\Theta \leq 70$ мрад и лежащие в области $z = 9 - 18$ м.* В табл. 2 приведено распределение событий, обнаруживающих П-эффект, по углам Θ . Видно, что углы свыше 50 мрад не характерны для П-эффекта. Статистическая обеспеченность П-эффекта для углов $10^{-2} \leq \Theta \leq 5 \cdot 10^{-2}$ соответствует 4,8°.

Итак, можно считать установленным, что П-эффект связан в основном с взаимодействием ядерной компоненты ИАЛ в плотном веществе.

Природа А-пар. Рассмотрим возможность появления событий типа А-пар в результате фотоядерных взаимодействий мюонов. Пусть акт взаимодействия происходит на высоте z над уровнем установки. Тогда вероятность наблюдать пару пион-мюон

* Рис. 2 не показателен для выявления П-эффекта, ибо этот эффект со средоточен, в согласии с /1-4/ и с табл. 2, в ограниченном интервале высот z вершин мюонных пар над искровыми камерами 9 – 18 м, тогда как на рис. 2 дано угловое распределение для событий из значительно более широкого интервала высот (0 – 30 м). Однако полный избыток числа зарегистрированных мюонных пар в интервале углов $10^{-2} - 10^{-1}$ рад над фоном составляет для $a_0 \leq 6$ мрад приблизительно 50 событий, что соответствует избытку в числе мюонных пар над фоном, обнаруженному в /4/ в интервале высот вершин 9 – 18 м.

Таблица 2

Распределение мюонных пар, обнаруживающих П-эффект, по углу раствора Θ (область высот 9—18 м) для $a_0 \leq 6$ мрад.

Θ , рад	$(1-3) \cdot 10^{-2}$	$(3-5) \cdot 10^{-2}$	$(5-7) \cdot 10^{-2}$
N_B	51	32	14
N_H	19	13	14
ΔN	32	19	0
$\sigma(\Delta N)$	8,37	6,71	5,29
$\Delta N/\sigma(\Delta N)$	3,82	2,83	0

$$p_{\pi\mu} = \exp\left(-\frac{\lambda_\pi + c\tau\gamma}{\lambda_\pi c\tau\gamma} z\right), \quad (1)$$

где γ — лоренци-фактор рожденного пиона; $\lambda_\pi = 120$ г/см² — пробег взаимодействия пиона в грунте; c — скорость света; τ — время жизни пиона. Вероятность же наблюдать пару из двух мюонов, один из которых появляется в результате распада рожденного пиона, будет:

$$p_{\mu\mu} = \frac{\lambda_\pi}{\lambda_\pi + c\tau\gamma} [1 - \exp\left(-\frac{\lambda_\pi + c\tau\gamma}{\lambda_\pi c\tau\gamma} z\right)]. \quad (2)$$

Тогда пары, рожденные в фотоядерном взаимодействии мюона, распределены по высоте по закону:

$$p(z) = \frac{\lambda_\pi}{\lambda_\pi + c\tau\gamma} + \frac{c\tau\gamma}{\lambda_\pi + c\tau\gamma} \exp\left(-\frac{\lambda_\pi + c\tau\gamma}{\lambda_\pi c\tau\gamma} z\right). \quad (3)$$

Для случая рождения пионов в фотоядерных взаимодействиях мюонов характерно сосредоточение вершин генерации вблизи установки. Формула (3)

справедлива и для случая рождения мюонов через распад очарованных частиц. При этом γ – лоренц-фактор очарованной частицы, а t – ее время жизни. В этом случае $ct\gamma \ll \lambda_\pi$ и, следовательно, получаем равномерное распределение событий по высоте. Поэтому Λ -события могут быть связаны с рождением мюонами быстрораспадающихся частиц.

Указанием на связь этого процесса с взаимодействиями мюонов может быть гистограмма рис. 3. Если для всех зарегистрированных событий распределение по числу мюонов в кадре хорошо описывалось соотношением $F(>N_\mu) \propto 1/N_\mu^2$ то, как видно из рис. 3, в нашем случае распределение хорошо описывается соотношением $F(>N_\mu) \propto 1/N_\mu$, что указывает на пропорциональность количества Λ -событий количеству мюонов, прошедших через установку. Систематическое превышение может быть объяснено наличием ~ 3 фоновых событий среди истинных Λ -пар.

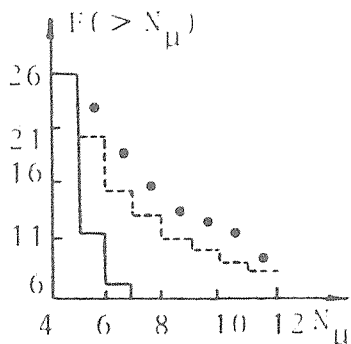


Рис. 3. Распределение кадров с Λ -парами по количеству мюонов в кадре. Сплошная линия – $F(>N_\mu) \propto 1/N_\mu^2$; пунктир $F(>N_\mu) \propto 1/N_\mu$; \odot экспериментальные данные.

С учетом рис. 1 находим, что количество Λ -пар, рождающееся в $600 \text{ г}/\text{см}^2$ грунта, составляет 20 ± 10 событий (число дано без учета эффективности отбора событий на установке), с биссектрисами, направленными на установку.

Мы считаем целесообразным пока воздержаться от конкретной интерпретации Λ -событий (как, например, фотоядерного рождения чарма в мюонных реакциях) в связи с недостаточной экспериментальной обоснованностью такого утверждения. Но необходимо отметить возможность рождения Λ -пар в мюонных взаимодействиях.

Поступила в редакцию 24 декабря 1984 г.
После переработки 26 февраля 1985 г.

ЛИТЕРАТУРА

1. Базаров Е.В. и др. Труды ФИАН, 109, 109 (1979).
2. Базаров Е.В. и др. Изв.АН СССР, сер.физ., 44, 561 (1980).
3. Basarov E.V. et al. 17th Int. Cosm. Ray Conf., Paris, v. 7, p. 48 (1981).
4. Бешапов С.П. Поиск мюонных пар прямой генерации в широких ливнях. Диссертация. М., ФИАН, 1984.
5. Beschakov S.P., Vavilov Yu.N. 18th Int. Cosm. Ray Conf., Bangalore v. 5., p. 106 (1983).